

## ملوثات الهواء وأثرها في تباين قيم الاشعاع الشمسي في العراق للمدة ( 1989 - 2019 )<sup>(\*)</sup>

الباحث: أحمد عصام عبد النبي حنون النافعي . أ.م.د. بلسم شاكر شنيشل  
الجامعة العراقية / كلية الآداب / قسم الجغرافية

مستخلص:

يعد تلوث الهواء من المشاكل المعقدة التي تعمل على تغيير خصائص الغلاف الجوي، وذلك نتيجة لتحرر كميات كبيرة من الغازات والأبخرة والمواد الكيميائية الناتجة عن الفعاليات الصناعية، الأمر الذي يؤدي إلى تغيير نسب المكونات الرئيسية في الهواء وحدوث انخفاض في كمية الاشعاع الشمسي الواصل إلى سطح الأرض. وقد سجلت ملوثات الهواء (ثاني أوكسيد الكبريت  $SO_2$ ، أحادي أوكسيد الكربون  $CO$ ، الكاربون الأسود) معدلات متباعدة خلال المدة (1989-2019) يكون لها دور فعال في تشتت الاشعة الشمسية، إذ بلغ المعدل السنوي لتركيز ثاني أوكسيد الكبريت (7,8) (كغم / م<sup>2</sup>)، أما تركيز أحادي أوكسيد الكربون فقد بلغ (3,6) (كغم / م<sup>2</sup>)، فيما بلغ تركيز الكاربون الأسود (السخام) نحو (5,8) (كغم / م<sup>2</sup>).  
الكلمات المفتاحية: الغلاف الجوي، ملوثات الهواء، الغازات الملوثة .

### Air pollutants and their impact on the variation in solar radiation values in Iraq For the duration (1989-2019)

Researcher: Ahmed Essam Abdel-Nabi Hanun Al-Naf'i'i,

Prof.Ass. Dr. Shaker Shneshel Conditioner

Iraqi University/College of Arts/Department of Geography

#### Abstract :

Air pollution is a complex problem that changes the characteristics of the atmosphere, as a result of the release of large quantities of gases, vapors and chemicals resulting from industrial activities, which leads to a change in the proportions of the main components in the air and a decrease in the amount of solar radiation reaching the surface of the earth.

Air pollutants (sulfur dioxide,  $SO_2$ , carbon monoxide,  $CO$ , black carbon) recorded varying rates during the period (1989-2019) that have an effective role in the dispersal of solar rays, as the annual rate of sulfur dioxide concentration reached (7.8) ( kg/m<sup>2</sup>), while the concentration of  $CO$  black carbon was (3.6) (kg/m<sup>2</sup>), while the concentration of black carbon (soot) was about (5.8) (kg/m<sup>2</sup>).

**Key words:** (atmosphere, air pollutants, polluted gases).

(\*) بحث مستقل من رسالة الماجستير التي بعنوان : التغيرات الشمسية وآثره في تباين قيم الرطوبة النسبية والتباين في العراق ، رسالة تقدم بها: أحمد عصام عبد النبي حنون ، وبإشراف : أ.م.د. بلسم شاكر شنيشل ، مقدمة إلى مجلس كلية الآداب - الجامعة العراقية . وهي جزء من متطلبات نيل درجة الماجستير في الجغرافية ، 2022 .

### مشكلة البحث:

تأثير الملوثات الجوية على الغلاف الجوي يُعرف على نطاق واسع بأنه أحد أهم جوانب إسقاطات تغير المناخ وأكثرها اتساماً بعدم التيقن، ويؤدي تأثير فعال في الموازنة الإشعاعية لسطح الأرض، لذا فإن هذا البحث يقوم على مشكلة هامة وهي: هل أن تراكيز ملوثات الهواء لها دور في تباين قيم الاشعاع الشمسي في العراق؟

### فرضية البحث:

لقد حدثت بعض ملوثات الهواء من قدرة الغلاف الجوي على ترشيح إشعاعات الشمس بالوصول إلى الأرض، وعلى هذا الأساس تمثلت فرضية البحث بالصيغة الآتية: أن تراكيز ملوثات الهواء لها دور مؤثر في تباين قيم الاشعاع الشمسي في العراق.

### الحدود المكانية والزمانية للبحث:

تتمثل حدود منطقة الدراسة بموقع العراق الإحداثي والجغرافي الذي تمثله الحدود المكانية والزمانية وكما يأتي:

أ- الحدود المكانية: تشمل مساحة العراق الكلية الذي يقع جغرافياً ما بين دائري عرض دائري عرض ( $38^{\circ} 45' - 29^{\circ} 23'$ ) شمالي، وخطي طول ( $48^{\circ} - 5^{\circ}$ ) شرقاً، وقد اكتسب من هذا الموقع حرارته الشبيهة بالمدارية، يقع جغرافياً جنوب غرب آسيا وفي القسم الشمالي الشرقي من الوطن العربي، ينظر خرطة رقم (1) وجدول رقم (1).

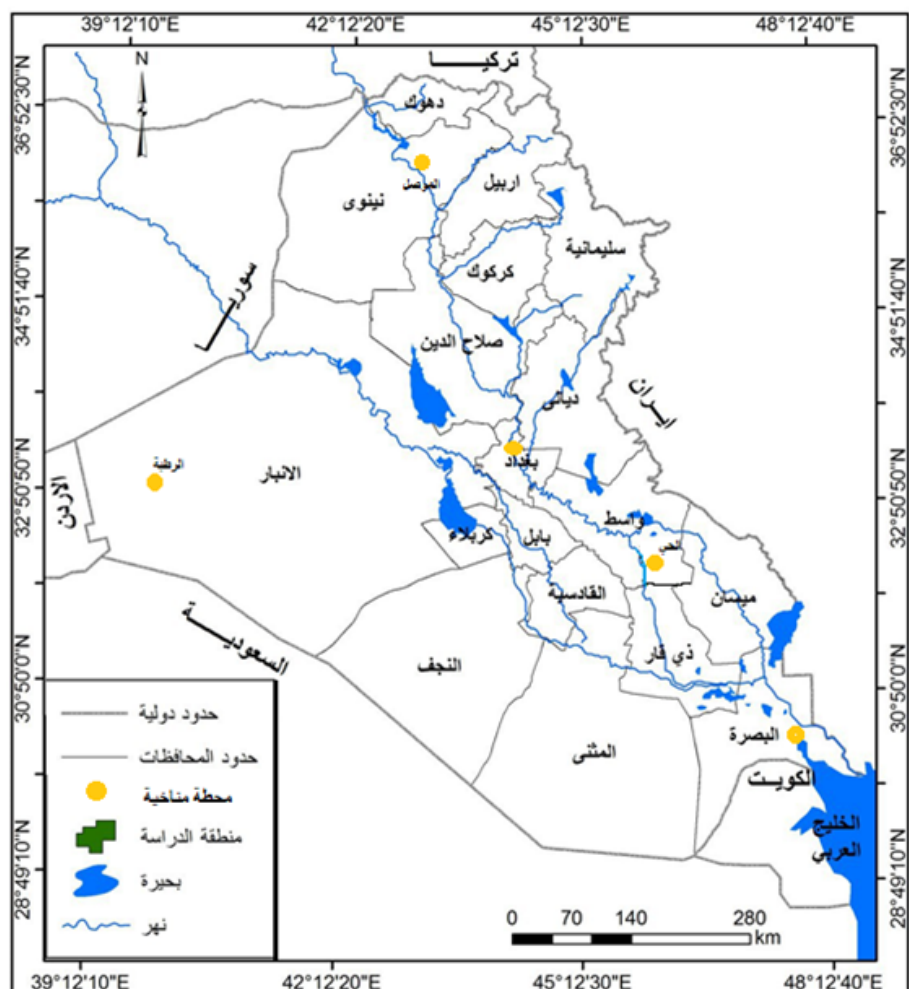
ب- الحدود الزمانية: أما الحدود الزمانية فقد تم حصرها ضمن الدورة المناخية الكبرى الواقعة بين عامي (1989-2019) لتتوفر بيانات حول جميع المحطات المختارة خلال هذه المدة الزمنية لدى الهيئة العامة للأرصاد الجوية العراقية.

### المقدمة:

ملوثات الهواء هي عبارة عن مزيج معقد من المكونات الكيميائية الغازية والمكثفة التي تنشأ من مصادر طبيعية، مثل الغبار الذي تحمله الرياح ورذاذ البحر والأنشطة البركانية؛ فضلاً عن الأنشطة البشرية مثل الاحتراق والبناء والصناعة. وتُصنف الملوثات على أنها أولية أو ثانوية بناءً على مسار دخولها إلى الغلاف الجوي. تُنبع الملوثات الأولية مباشرةً في الغلاف الجوي من مصدر معين مثل انبعاثات الاحتراق، في حين تكون الملوثات الثانوية داخل الغلاف الجوي عبر أكسدة الانبعاثات الأولية، وهو ما يؤدي إلى تكوين ملوثات غازية مثل الأوزون أو المرحلة المكثفة مثل النترات والكبريتات والمركبات العضوية الثانوية.

تتمثل خطورة التلوث الهوائي في صعوبة التحكم فيه إذ يستطيع الإنسان أن يتحكم في المياه التي يشربها والغذاء الذي يأكله لكنه لا يستطيع على اختيار الهواء الذي يتنفسه ففي كل يوم تنتشر ملايين الأمتار المكعبة من الغازات الناتجة عن احتراق الفحم والغازات وبترول المصانع وبنزين السيارات وتسمم الكائنات الحية كما أن النشاط الإشعاعي المميت للإنسان يزداد زيادة خطيرة بسبب الانفجارات الذرية والمراكيز النووية وهذا كله يشكل خطراً على الإنسان والحيوان والنبات، إن الريادة في الملوثات مثل الكبريتات والكاربون الأسود (السخام) في الغلاف الجوي تسبب الانخفاض في كمية الإشعاع الشمسي، وينتداخل هذا الانخفاض مع الدورة الهيدرولوجية عن طريق الحد من عملية التبخر فقط، ويعتقد العلماء أنه يتسبب في تقليل هطول الأمطار في بعض الأماكن، كما أن الانخفاض في الإشعاع يخلق أيضاً تأثير التبريد الذي يقاوم آثار غازات الدفيئة على ظاهرة الاحتباس الحراري.

### خرائط (1) المحطات المناخية المختارة



المصدر: الباحث بالإعتماد على وزارة النقل، الهيئة العامة لأنواع الجو ورصد الزلزال العراقي، أطلس مناخ العراق، الجزء الأول، 2012، ص 5.

### جدول (1) المحطات المناخية المشمولة بالدراسة

المنطقة الجغرافية	الارتفاع عن مستوى سطح البحر (م)	خط الطول (درجة شرقاً)	دائرة العرض (درجة شمالاً)	رقم المحطة الأنوية	المحطة المناخية
المتموجة	223	°43 15'	°36 32'	608	الموصل
الهضبة الغربية	34	°40 28'	°33 03'	642	الرطبة
السهل الرسوبي	34	°44 23'	°33 23'	650	بغداد
السهل الرسوبي	20	°46 05'	°32 17'	665	الحي
السهل الرسوبي	2.4	°47 78'	°30 57'	689	البصرة

المصدر: الهيئة العامة لأنواع الجو العراقية، أطلس مناخ العراق، سجلات غير منشورة، بغداد، 1990.

## أهداف البحث:

يهدف البحث لبيان أثر تراكيز ملوثات الهواء في تباين قيم الاشعاع الشمسي في العراق، إذ لابد من معرفة تباين تراكيز ملوثات الهواء والمعدلات السنوية السائدة فيه ممكناً بين مناطق العراق، إذ يختلف تركيز العناصر الملوثة للهواء من منطقة لأخرى نتيجة لطبيعة تأثير العوامل الجوية التي تؤدي إلى إلأى الملوثات وعدم تشتتها، فضلاً عن درجة كثافة ونوع المنشآت الصناعية بين منطقة وأخرى.

وهذا ما يعرف بالمطر الحامضي (الخشب والصحف، 1976، ص 367).

2- أحادي أوكسيد الكربون (CO): ينشأ هذا الغاز من خلال احتراق الوقود التي تحتوي على الكربون (الاحتراق غير التام للكربون) مثل الفحم الحجري والنفط والخشب والزيت في كمية غير كافية من الأوكسجين، أو عند الاحتراق في حرارة مرتفعة جداً، ومع ذلك فإن معظم مصادر تكون غاز أحادي أكسيد الكربون (CO) تكون من مصادر طبيعية (قدوري ورديف، 2013، ص 176).

ويعد قطاع النقل مساهماً رئيساً في انتاج الغازات الملوثة فيولد ما مقداره (60%) من غاز أحادي أكسيد الكربون (CO)، وتعود هذه النسبة من الملوثات إلى العدد الهائل من السيارات التي تزداد سنة بعد آخر (قدوري ورديف، ص 177). ويتبين تركيز غاز أحادي أكسيد الكربون (CO) في منطقة الدراسة من محطة لآخر.

## 3- الكاربون الأسود (السخام):

هو جزء من تلوث الهواء بالجسيمات الدقيقة ويساهم في تغير المناخ، يتكون الكربون الأسود من الاحتراق غير الكامل للوقود الاحفورى والخشب وأنواع الوقود الأخرى.

يعد الكاربون الأسود ملوثاً مناخياً قصيراً العمر وعمره يتراوح من أيام إلى أسابيع فقط بعد اطلاقه في الغلاف الجوي، إذ أظهرت العديد من الدراسات أن تدابير انبعاثات الكاربون الأسود يمكن أن تقلل من ارتفاع درجة حرارة المناخ على المدى القريب (Black Carbon, Climate) and clean air coalition

يعد الكاربون الأسود أحد المكونات الرئيسية للسخام، وهو أكثر مكونات الجسيمات التي تمتلك الطاقة الشمسيّة ويمكن أن يمتلك طاقة أكثر بـ مليون مرة من ثاني أوكسيد الكربون ، الكاربون الأسود ثاني

أولاً: ملوثات الهواء  
أنواعها وأهميتها وتركيبها:

1- ثاني أوكسيد الكبريت (SO<sub>2</sub>) وهو غاز قابل للاشتعال، عديم اللون، ذو رائحة نفاذة (الحسن، 2011، ص 88)، وتسهم غازات متعددة في تكوين غاز (SO<sub>2</sub>) كالانفجارات البركانية بطرح كميات هائلة منه، كما يتحرر هذا الغاز من غاز كبريتيد الهيدروجين (H<sub>2</sub>S) الذي ينتج من تفسخ المواد العضوية، فضلاً عن المصادر البشرية المتمثلة بحرق الوقود الذي يدخل الكبريت في مكوناته وخاصة من حرق المتجزرات (الفحم الحجري) أو مشتقات النفط، إذ تسهم الصناعات النفطية والتعدين ومحطات توليد الطاقة الكهربائية بدرجة كبيرة في التلوث الناجم عن هذا الغاز (الأسدى وعايد، 2013، ص 378-377). ويؤدي احتراق عشرة اطنان من الفحم الذي يحتوي على نسبة عالية من الكبريت إلى اطلاق طناً واحداً من هذا الغاز في الهواء (الشعباني، 2009، ص 67). أن وجود غاز ثاني أوكسيد الكبريت (SO<sub>2</sub>) لا يستمر فترة طويلة في الجو ، إذ لا تزيد فترة بقائه عن عدة أيام ، لأنه يعود الأرض عند احتلاطه بغازات أخرى ساخنة(\*)، أو قد يعود مع قطرات المطر على شكل حامض الكبريتيك

### ثانياً: أثر ملوثات الهواء في تباين قيم الأشعاع الشمسي في العراق:

1- تراكيز ثاني أوكسيد الكبريت وأثرها في تباين قيم  
الأشعاع الشمسي في العراق:  
تشير معطيات الجدول (2) والشكل (1) أن هناك  
تبابن مكاني في قيم غاز ثاني أوكسيد الكبريت ( $SO_2$ ) في  
منطقة الدراسة، إذ سجلت محطة بغداد أعلى معدل تركيز  
للغاز بلغ ( $10.3 \text{ كغم}/\text{م}^2$ ) ويعود ذلك إلى الزيادة  
السكانية و بسبب استخدامهم الكبير للمحروقات  
في البيوت والمصانع ومن عوادم السيارات، في حين  
سجلت محطة الرطبة أقل معدل تركيز بلغ ( $3.2 \text{ كغم}/\text{م}^2$ )  
يعود إلى قلة السكان وقلة المصانع والمصافي في هذه  
المحطة.

أكبر مساهم في تغير المناخ بعد ثاني أوكسيد الكاربون،  
ولكن عكس ثاني أوكسيد الكاربون الذي يمكن  
أن يبقى في الغلاف الجوي لعشرات السنين ، فإن  
الكاربون الأسود لأنه جسيم يبقى في الغلاف الجوي  
لأيام إلى أسابيع فقط قبل أن يعود إلى الأرض مع  
هطول الأمطار أو الثلوج ، إذ يؤثر الكاربون الأسود،  
مثله مثل جميع الجزيئات الموجودة في الغلاف الجوي على  
انعكاسية السحب واستقرارها ومدتها ويعود هطول  
الامطار اعتماداً على مقدار السخام الموجود في الهواء  
ومكان وجود الكاربون الأسود في الغلاف الجوي (Re-  
(nee Cho,2016).

مكونات وابعاثات الكاربون الأسود (السخام) :  
ت تكون جزيئات الكاربون الأسود من كربون  
أولي نقى تقريباً مع بعض الاوكسجين والهيدروجين  
المربطين في بنية سداسية الطبقات والتي تتوافق مع  
بنية بلورية جرافيت مضطربة إلى حد ما، يمكن أن  
يتكون الكاربون الأسود إما عن طريق كربنة (الفحم)  
المواد العضوية أثناء الاحتراق (جزيئات الفحم) أو  
عن طريق التكتيف من الطور الغازي في تقليل اللهب  
(جزيئات السخام)، إنها المادة الشائعة الوحيدة في الهباء  
الجوي التي تمتضض الضوء المرئي بقوة (Meinrat O. An-  
(. dreae, 1995

تشمل المصادر الطبيعية والبشرية المهمة لابعاثات  
الكاربون الأسود حرائق الغابات، حرق النفايات  
الزراعية والصلبة، اشعال الغاز، الشحن البحري،  
احتراق وقود الديزل واحتراق الوقود في المنازل  
(Eu Backgroundon,black carbon

جدول (2) المعدلات السنوية لتركيز غاز ثاني أكسيد الكبريت (  $50_2$  ) ( كغم /  $m^2$  ) في محطات الدراسة للمدة ( 1989 - 2019 )

السنوات	الموصل	الرطبة	بغداد	الحي	البصرة	المعدل
1989	5.3	2.2	5.4	5.4	5.8	4.8
1990	5	2.3	5.1	5.1	5.3	4.6
1991	6.3	3.8	6.4	6.1	6.2	5.8
1992	5.6	2.4	5.7	6	6.2	5.2
1993	6.5	2.7	6.6	6.6	6.7	5.8
1994	7.5	2.3	6.6	7.3	7.4	6.2
1995	7.1	2.7	7.6	7.6	6.7	6.3
1996	7.6	2.7	7.6	7.4	7.8	6.6
1997	7.4	2.7	7.4	7.3	8	6.6
1998	9.3	4.5	8.5	7.5	5.8	7.1
1999	8.9	4.4	8.5	9.2	4.9	7.2
2000	10.4	4.6	12.5	10	9.6	9.4
2001	10.2	3.6	14.2	9.1	9.5	9.3
2002	9.4	3.2	13	9	8.8	8.7
2003	8.7	2.8	11.3	8	8.3	7.8
2004	9.9	3.1	10.8	8.6	9.3	8.3
2005	10.1	3.2	11.8	7.9	9.4	8.5
2006	10.6	3.1	12	8.1	9.6	8.7
2007	10.5	3.4	11.5	9.3	8.6	8.7
2008	11.9	3.4	13.2	9.2	9.7	9.5
2009	12.3	3.4	12.8	9.2	8.9	9.3
2010	11.3	3.5	13.2	9.2	10.1	9.5
2011	10.1	3.2	11.8	8.8	8.7	8.5
2012	11.2	3.2	12	8.1	9.1	8.7
2013	11.2	3.5	11.9	8.9	9	8.9
2014	11.6	3.3	11.4	9.3	8.7	8.9
2015	11.3	3	12	8.8	9.4	8.9
2016	9.9	3.1	11.7	8.6	8.5	8.4
2017	10.8	3.3	12.8	8.2	9	8.8
2018	11.9	3	12	9	9	9
2019	11.4	3.2	11.1	8.1	9.2	8.6
المعدل	9.4	3.2	10.3	8.1	8.2	7.8

المصدر: من عمل الباحث بالاعتماد على بيانات التلوث من القمر الصناعي تيرا ( Teera ) لوكالة الفضاء و الطيران الامريكية ،  
<https://giovanni.gsfc.nasa.gov/giovanni> .

شكل (1) تباين تركيز غاز ثاني أوكسيد الكبريت ( $SO_2$ ) (كغم /  $m^2$ ) في محطات منطقة الدراسة للمرة (1989 - 2019)



المصدر: من عمل الباحث بالاعتماد على جدول (2).

وبالرجوع الى الجدول السابق والشكل (2) يتبيّن تركيزه بلغت نحو (9.5 كغم /  $m^2$ )، بينما سجلت سنة 1990 (أدنى تركيز غاز ثاني أوكسيد الكبريت) (4.6 كغم /  $m^2$ ) إذ شهت سنوات (2008 و 2010) ارتفاعاً في ( $SO_2$ ).

شكل (2) التباين السنوي لتركيز أحادي أكسيد الكبريت ( $SO_2$ ) (كغم /  $m^2$ ) في محطات الدراسة للمرة (1989 - 2019)



المصدر: الباحث بالاعتماد على جدول (2).

الشتاء عاماً الى الاستخدام للمحروقات بشكل كبير لعملية التدفئة بكافة أنواعها مما يؤدي الى ارتفاع نسبة هذا الغاز، وزيادة كثافة الهواء بسبب انخفاض درجات الحرارة أما أقل تركيز لهذا الغاز فقد سجل خلال شهر حزيران و تموز إذ بلغ المعدل (6.2 كغم /  $m^2$ ) لقلة استخدام المحروقات التي تبعث غاز ثاني أوكسيد

تشهد المعدلات الشهرية لتركيز غاز ثاني أكسيد الكبريت ( $SO_2$ ) تبايناً زمنياً في محطات منطقة الدراسة، ويلاحظ من الجدول (3) والشكل (3) أن أعلى تركيز لهذا الغاز سجل في شهر كانون الأول، إذ بلغ المعدل (9.4 كغم /  $m^2$ ) في محطات منطقة الدراسة، ويعود السبب في ذلك الارتفاع من هذا الشهر وفي فصل

الكبريت في هذين الشهرين و بالتحديد في فصل الصيف (السعدي، 2005، ص 65). أن زيادة معدلات ثاني أكسيد الكبريت ( $SO_2$ ) في الجو يؤدي إلى خفض كميات الاشعاع الشمسي الشمسي النافذ فيها إلى حد كبير . الكلي الواصل إلى سطح الأرض، إذ يؤدي التفاعلات

جدول (3) المعدلات الشهرية لتركيز غاز ثاني أكسيد الكبريت ( $SO_2$ ) (كغم/م<sup>2</sup>) في محطات الدراسة للمدة (1989-2019)

الأشهر	الموصل	الرطبة	بغداد	الحي	البصرة	المعدل
أيلول	7.7	3.6	10.5	7.5	7.9	7.4
1 ت	10.9	3.7	10.9	8.7	8.8	8.6
2 ت	12.5	3.2	11.6	9.3	9.4	9.2
1 ك	12.9	2.8	12.5	9.4	9.2	9.4
2 ك	12.4	2.6	11.9	9.5	9.1	9.1
شباط	10.8	2.4	10.7	8.4	8.3	8.1
آذار	9.2	2.7	10.1	8.4	8.3	7.7
نيسان	9.2	2.8	9.9	8.1	8.4	7.7
آيار	8.2	3.2	9.8	7.1	8	7.3
حزيران	6.3	3.6	8.3	6.4	6.6	6.2
تموز	6	3.9	7.9	7	6.4	6.2
آب	6.7	3.7	9.1	7.2	7.5	6.8
المعدل	9.4	3.2	10.3	8.1	8.2	7.8

المصدر: من عمل الباحث بالاعتماد على بيانات التلوث من القمر الصناعي تيرا (Teera) لوكالة الفضاء والطيران الأمريكية ،  
<https://giovanni.gsfc.nasa.gov/giovanni> .

شكل (3) التباين الشهري لتركيز غاز ثاني أكسيد الكبريت ( $SO_2$ ) (كغم/م<sup>2</sup>) في محطات الدراسة للمدة (1989-2019)



المصدر: الباحث بالاعتماد على جدول (3) .

أوكسيد الكاربون (CO) في منطقة الدراسة، إذ سجلت محطة الرطبة أعلى تركيز بلغ (3.9 كغم / م<sup>2</sup>)، بينما سجلت محطة الموصل أقل تركيز بلغ (3.3 كغم / م<sup>2</sup>). 2- تراكيز أحادي أوكسيد الكاربون وأثرها في تباين قيم الاشعاع الشمسي في العراق: يوضح الجدول (4) وجود تبايناً مكаниًّا في تراكيز غاز أحادي والشكل (4) المعدلات السنوية لتركيز غاز أحادي أوكسيد الكربون (CO) (كغم / م<sup>2</sup>) في محطات الدراسة للمدة (1989-2019).

جدول (4) المعدلات السنوية لتركيز غاز أحادي أوكسيد الكربون (CO) (كغم / م<sup>2</sup>) في محطات الدراسة للمدة (1989-2019)

السنوات	الموصل	الرطبة	بغداد	الحبي	البصرة	المعدل
1989	4.2	3.8	3.3	3.5	3.6	3.7
1990	4	3.6	3.9	3.3	3.5	3.7
1991	3.9	3.5	3.7	3.2	3.3	3.5
1992	3.4	3.7	3.2	3.4	3.5	3.4
1993	3.8	3.5	3.8	3.2	3.4	3.5
1994	4	3.7	3.2	3.4	3.6	3.6
1995	3.4	3.7	3.2	3.4	3.6	3.5
1996	3.3	3.8	3.2	3.4	3.6	3.5
1997	3.3	3.8	3.2	3.4	3.6	3.5
1998	4.1	3.7	3.2	3.4	3.7	3.6
1999	3.5	3.9	3.3	3.5	3.8	3.6
2000	3.2	4	3.5	3.6	3.3	3.5
2001	3.4	4	3.5	3.7	4.1	3.7
2002	3.2	4.1	3.6	3.7	4.2	3.8
2003	3.8	3.9	3.5	3.6	4.1	4.1
2004	3.9	4.9	3.6	3.7	4.2	4.1
2005	3.2	4.1	3.5	3.7	4.1	3.7
2006	3.3	4.1	3.6	3.8	3.4	3.6
2007	2.6	4.3	3.6	3.8	3.5	3.6
2008	3.4	4.2	3.7	3.9	3.8	3.6
2009	3.3	4.1	3.6	3.8	4.2	3.8
2010	3.5	4.3	3.9	4.1	4.1	3.7
2011	3.3	4.1	3.6	3.8	4.2	3.8
2012	2.8	3.8	3.9	3.3	2.9	3.3
2013	2.8	3.7	3.9	3.4	3	3.4
2014	2.9	3.8	3.9	3.4	3	3.4
2015	2.8	3.8	3.2	3.4	3	3.2
2016	2.9	3.8	4	3.4	3	3.4
2017	2.8	3.8	3.2	3.4	3	3.2
2018	2.9	3.8	3.2	3.4	3	3.3
2019	2.8	3.8	3.2	3.3	3	3.2
المعدل	3.3	3.9	3.5	3.5	3.5	3.6

المصدر: من عمل الباحث بالاعتماد على بيانات التلوث من القمر الصناعي تيرا (Teera) لوكالة الفضاء و الطيران الامريكية ،

<https://giovanni.gsfc.nasa.gov/giovanni> .

شكل ( 4 )

بيان تراكيز غاز أحادي أوكسيد الكاربون (CO) (كغم / م<sup>2</sup>) في محطات منطقة الدراسة للمدة ( 1989 - 2019 )

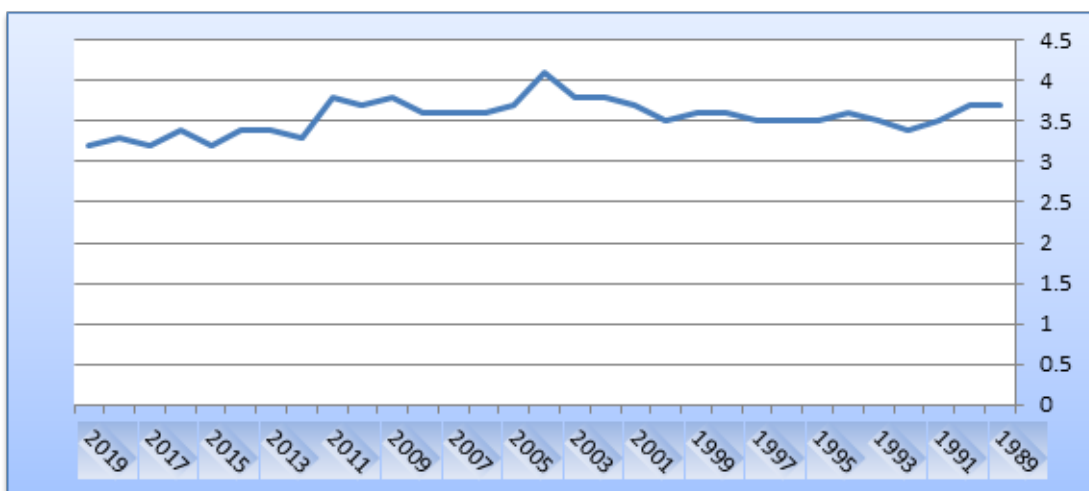


المصدر: من عمل الباحث بالاعتماد على جدول ( 4 ) .

وتشير معطيات الجدول السابق والشكل ( 5 ) أن هناك تبايناً زمانياً في تراكيز غاز أحادي أوكسيد الكاربون (CO) إذ سجلت بعض السنوات تراكيز بلغ ( 3.2 كغم م<sup>2</sup> ) في حين سجلت سنة ( 2004 ) أعلى تراكيز بلغ ( 4.1 كغم / م<sup>2</sup> ) . منخفضة للغاز في سنوات ( 2015 ، 2017 ، 2019 )

شكل ( 5 )

البيان السنوي لتراكيز غاز أحادي أوكسيد الكربون (CO) (كغم / م<sup>2</sup>) في محطات الدراسة للمدة ( 1989 - 2019 )



المصدر: الباحث بالاعتماد على جدول ( 4 ) .

6.4 كغم / م<sup>2</sup>) على التوالي ، بينما سجلت أشهر (تموز و آب ) أقل معدل تركيز للغاز بلغ ( 1.4 كغم / م<sup>2</sup>) للكليهما على التوالي .

وهذا يتضح من معطيات الجدول (5) والشكل (5) تشهد تراكيز غاز أحادي أوكسيد الكاربون (CO) تبايناً شهرياً حيث سجلت أشهر حيث سجلت أشهر (نisan و تشرين الأول) أعلى معدل ترکيز بلغ (6.8 و

## جدول (5)

المعدلات الشهرية لتركيز غاز أحادي أكسيد الكربون (CO) (كغم/م<sup>2</sup>) في محطات الدراسة للمرة (1989 - 2019)

المعدل	البصرة	الجي	بغداد	الرطبة	الموصل	الأشهر
3.2	1.2	1.2	1.1	8.9	3.8	أيلول
6.4	5.7	6.5	7.4	6	6.6	1 ت
4.5	5.7	5.1	4.8	3.4	3.3	2 ت
2.7	3.6	3.1	3	2.1	1.9	1 ك
2.4	3.2	2.8	2.6	1.8	1.7	2 ك
3.1	4.1	3.6	3.4	2.2	2.4	شباط
4.8	6.2	5.5	5.2	3.3	3.7	آذار
6.8	6	8.6	8.1	5	6.1	نيسان
3.8	1.5	1.4	2.2	7.4	6.5	آيار
2	1.4	1.4	1.4	4.5	1.2	حزيران
1.4	1.6	1.6	1.5	1.1	1.4	تموز
1.4	1.5	1.5	1.4	1.3	1.3	آب
3.5	3.5	3.5	3.5	3.9	3.3	المعدل

المصدر: من عمل الباحث بالاعتماد على بيانات التلويث من القمر الصناعي تيرا (Teera) لوكالة الفضاء و الطيران الأمريكية ،  
<https://giovanni.gsfc.nasa.gov/giovanni> .

شكل (5) التأين الشهي لتركيز غاز أحادي أكسيد الكربون (CO) (كم²) في محيطات الدراسة للمرة (1989-2019)



المصدر: الباحث بالاعتماد على جدول (5).

3- تراكيز الكاربون الأسود (السخام) وأثرها في تباين  
بإتجاه محطة الموصل مقارنةً بمحطة الرطبة، ينظر الجدول  
(6) والشكل (6).

ونفس الامر ينسحب الى التباين السنوي لتركيز الكاربون الأسود إذ سجلت أعلى معدلات تركيز هذا العنصر خلال السنوات من 2003 حتى 2010 كانت أعلاها في عام 2003 بلغ (6.5 كغم / م<sup>2</sup>) وعام 2006 بلغ (6.4 كغم / م<sup>2</sup>) ، في حين كان أقل معدل للسخام في السنوات (1993 و 2017) بلغ (5.1 كغم / م<sup>2</sup>) ، الشكل (7).

قيم الاشعاع الشمسي في العراق:

تبين معدلات تركيز الكاربون الأسود (السخام) في محطات منطقة الدراسة ، إذ ترتفع في محطة الموصل لتبلغ أعلى تركيز بلغ (6.8 كغم / م<sup>2</sup>) ، بينما تنخفض في محطة الرطبة لتبلغ (5.1 كغم / م<sup>2</sup>) ، ويرجع السبب الى ازدياد عمليات الاحتراق الناتجة عن العمليات العسكرية التي شهدتها الموصل وكذلك تأثير الاتجاهات الرياح السائدة إذ تنقل ملوثات آبار النفط في المنطقة

جدول (6) المعدلات السنوية لتركيز الكاربون الأسود (السخام) (كغم / م<sup>2</sup>) في محطات الدراسة للمدة (1989 - 2019 )

السنوات	الموصل	الرطبة	بغداد	الحي	البصرة	المعدل العام
1989	6	4.2	5.5	6.3	5.8	5.6
1990	6.2	4.6	5.8	6.6	6.3	5.9
1991	5.5	4	5	6	5.6	5.2
1992	5.1	3.6	4.5	5.6	5.1	4.8
1993	5.4	3.8	4.9	6	5.6	5.1
1994	5.6	3.8	5	6.3	5.7	5.3
1995	5.5	3.8	5.1	6.3	5.9	5.3
1996	5.6	4.1	5.3	6.4	6	5.5
1997	5.6	3.9	5.2	6.2	5.9	5.4
1998	6.7	5	6.4	6.8	6.4	6.3
1999	5.8	4.3	5.8	6.9	6.5	5.9
2000	6.6	4.8	6.4	6	5.5	5.9
2001	6.4	5	5.7	6.1	5.5	5.7
2002	7	5	6.5	6.2	7.1	6.4
2003	7.7	5.5	6.2	6.4	6.6	6.5
2004	7.7	5.7	6.6	6	5.6	6.3
2005	6.5	6.1	6.1	6.6	6.2	6.3
2006	6.5	5.9	6.2	6.6	7	6.4
2007	6.9	5.5	5.7	6.7	6.2	6.2

السنوات	الموصل	الرطبة	بغداد	الحي	البصرة	المعدل العام
2008	7.4	5.2	5.4	6.5	6.2	6.1
2009	7.6	5.3	7.4	5.8	4.5	6.1
2010	7.3	5.3	6.3	5.5	5.6	6
2011	6.4	6.5	5.8	4.2	4.4	5.5
2012	7.4	5.7	6	4.7	2.6	5.3
2013	6.7	6.3	6.6	3.7	3.8	5.4
2014	8.6	5.7	7.5	4.5	2.5	5.8
2015	8.1	5.6	6.7	5	4.4	6
2016	8	5.7	6.6	5	3.6	5.8
2017	6.7	6.2	5.9	4.1	2.7	5.1
2018	8.7	5.8	6.8	4.4	2.4	5.6
2019	9.4	6.1	5.3	3.9	3.9	5.7
المعدل	6.8	5.1	5.9	5.7	5.2	5.8

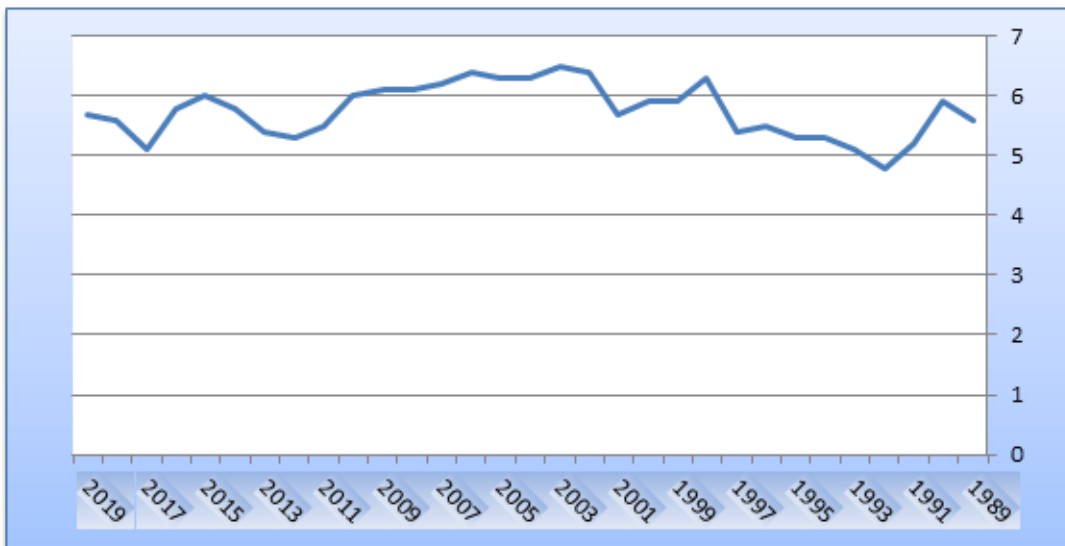
المصدر: من عمل الباحث بالاعتماد على بيانات التلوث من القمر الصناعي تيرا (Teera ) لوكالة الفضاء و الطيران الأمريكية ،  
<https://giovanni.gsfc.nasa.gov/giovanni> .

شكل ( 6 )

بيان تراكيز الكاربون الأسود (السخام) (كغم / م<sup>2</sup>) في محطات منطقة الدراسة للمدة (1989-2019)



المصدر: من عمل الباحث بالاعتماد على جدول ( 6 ) .

شكل (7) التباين السنوي لتراكيز الكاربون الأسود (السخام) (كغم / م<sup>2</sup>) في محطات الدراسة للمدة ( 1989 - 2019 )

المصدر: الباحث بالاعتماد على جدول ( 6 ) .

تبين تراكيز السخام (الكاربون الأسود) في شهر آب لتبلغ ( 4.8 كغم / م<sup>2</sup> ) و يرجع السبب إلى إزدياد حركة الرياح خلال هذه الأشهر ، ينظر الجدول ( 7 ) والشكل ( 8 ) .

أشهر السنة ، إذ تزداد تدريجياً إبتداءً من شهر أيلول لتصل أعلى معدل لها خلال شهر آيار لتبلغ ( 6.3 كغم / م<sup>2</sup> ) لتنخفض بعد ذلك لتسجل أدنى ترکیز لها خلال

جدول (7) المعدلات الشهرية لتركيز الكاربون الأسود (السخام) (كغم / م<sup>2</sup>) في محطات الدراسة للمدة ( 1989 - 2019 )

العام	البصرة	الحبي	بغداد	الرطبة	الموصل	الشهر
5.9	5	4.9	5.8	6.1	7.5	أيلول
5.9	5.1	5.5	6.7	4.9	7.5	ت1
5.5	4.6	5.5	6.1	4.3	7.2	ت2
5.6	5.8	5.7	5.8	3.9	6.7	1ك
6.1	6.9	7.4	5.6	3.8	6.7	2ك
5.7	6.5	6.6	5.4	3.9	6.3	شباط
5.9	5.7	7.1	5.8	4.4	6.5	آذار
5.9	4.9	5.8	6.6	5.2	7	نيسان
6.3	5.4	6.8	6.7	5.3	7.1	آيار
6.1	4.9	6.3	6.6	5.3	7.5	حزيران
5.3	3.9	3.5	5.6	7.3	6.3	تموز
4.8	3.7	3.5	4.6	6.8	5.4	آب
5.8	5.2	5.7	5.9	5.1	6.8	المعدل

المصدر: من عمل الباحث بالاعتماد على بيانات التلوث من القمر الصناعي تيرا ( Teera ) لوكالة الفضاء و الطيران الأمريكية ، <https://giovanni.gsfc.nasa.gov/giovanni> .

شكل (8) التباين الشهري لتركيز الكاربون الأسود (كم<sup>2</sup>) في محطات الدراسة للمرة (1989-2019)



المصدر: الباحث بالاعتماد على جدول (7).

سجلت معدل ترکیز بلغ (6 كغم / م<sup>2</sup> )، لترتفع خلال الدورتين المناخیتين الثانية (2000-2010) و الثالثة (2011-2019) إذ بلغت (8.8 و 8.7 كغم / م<sup>2</sup> ) على التوالي، وذلك يرجع الى إزدياد عمليات الاحتراق نتيجة العمليات العسكرية وخلفاتها ومحطات انتاج الطاقة الكهربائية فضلاً عن عمليات استخراج النفط .

### ثالثاً: الاتجاه العام

#### لتركيز ملوثات الهواء في العراق:

1- الاتجاه العام لتركيز ثاني أوكسيد الكبريت (SO<sub>2</sub>): يتضح من الجدول (8) والشكل (9) أن هناك إزدياد في معدل ترکیز غاز ثاني أوكسيد الكبريت (SO<sub>2</sub>) في محطات منطقة الدراسة عن ما كانت عليه في الدورة المناخية الأولى (1989-1999) حيث

جدول (8) معدلات ترکیز غاز ثاني أوكسيد الكبريت (SO<sub>2</sub>) (كم<sup>2</sup>)  
لمحطات الدراسة حسب الدورات المناخية للمرة (1989-2019)

المعدل	البصرة	الحي	بغداد	الرطبة	الموصل	المدة الزمنية
6	6.4	6.8	6.8	2.9	6.9	الدورة المناخية الأولى من 1989 - 1999
8.8	9.2	8.8	12.3	3.3	10.4	الدورة المناخية الثانية من 2000 - 2010
8.7	8.9	8.6	11.8	3.2	11	الدورة المناخية الثالثة من 2011 - 2019

المصدر: الباحث بالاعتماد على جدول (2).

شكل (9) الاتجاه العام لتركيز غاز ثاني أوكسيد الكبريت (SO<sub>2</sub>) (كغم كم<sup>2</sup>) للمدة ( 1989 - 2019 )

المصدر: الباحث بالاعتماد على جدول ( 8 ) .

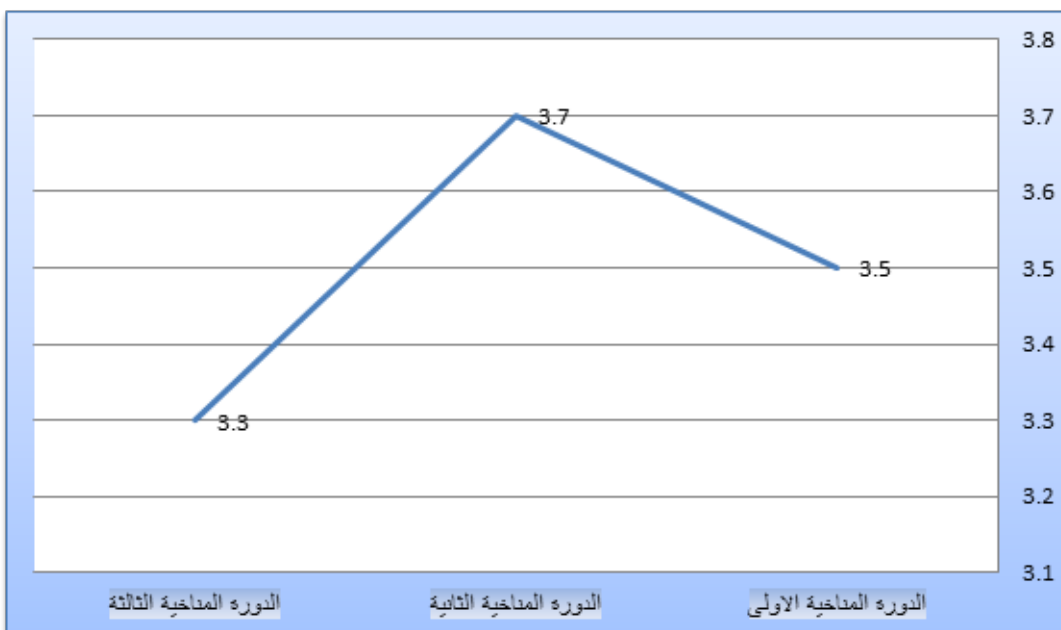
2- الاتجاه العام لتركيز أحادي أوكسيد الكاربون (CO): بلغ ( 3.3 كغم / م<sup>2</sup> )، بينما شهدت الدورة المناخية الثانية ( 2000 - 2010 ) إرتفاعاً بلغ ( 3.7 كغم / م<sup>2</sup> ) بسبب إزدياد العمليات العسكرية والاحتراق أنذاك وإنخفاضاً بعد ذلك . يبين الجدول ( 9 ) والشكل ( 10 ) أن هناك انخفاض في تركيز غاز أحادي أوكسيد الكاربون خلال الدورة المناخية الثالثة ( 2011 - 2019 )

جدول (9) معدلات تركيز غاز أحادي أوكسيد الكاربون (CO) (كغم / م<sup>2</sup>) لمحطات الدراسة حسب الدورات المناخية للمدة ( 1989 - 2019 )

المعدل	البصرة	الجي	بغداد	الرطبة	الموصل	المدة الزمنية
3.5	3.5	3.3	3.3	3.7	3.7	الدورة المناخية الأولى من 1989 - 1999
3.7	3.7	3.7	3.6	4.1	3.3	الدورة المناخية الثانية من 2000 - 2010
3.3	3.1	3.4	3.5	3.8	2.8	الدورة المناخية الثالثة من 2011 - 2019

المصدر: الباحث بالاعتماد على جدول ( 4 ) .

شكل (10) الاتجاه العام لتركيز غاز أحادي أوكسيد الكاربون (CO) (كغم / م<sup>2</sup>) في محطات الدراسة للمدة من (1989 - 2019)



المصدر: الباحث بالاعتماد على جدول (9).

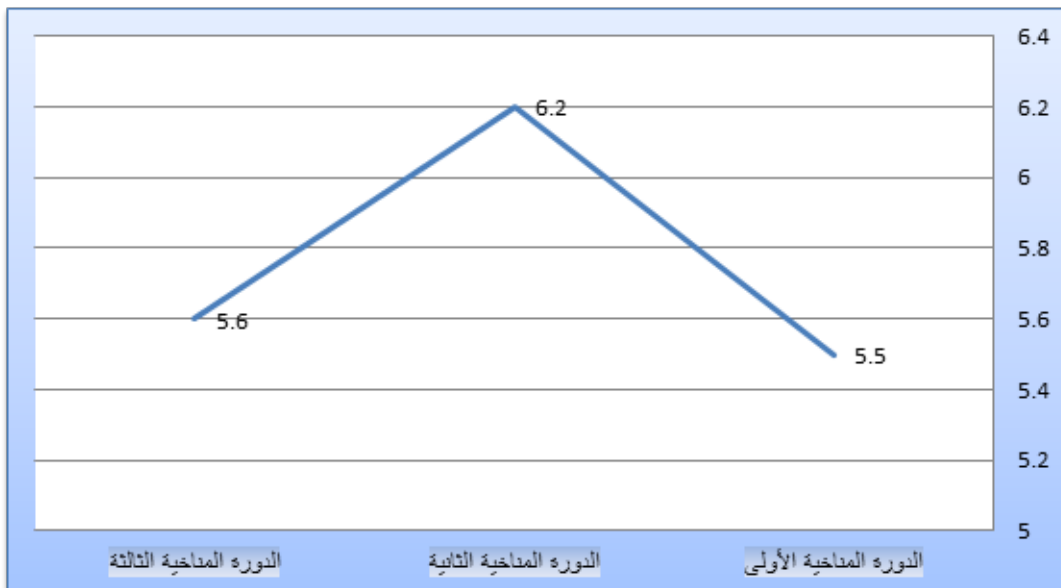
(1989 - 1999) و ذلك بسبب ما شهدته هذه المدة من عمليات إحراق ناتجة عن العمليات العسكرية والارهابية و حرق آبار النفط ، لتعود الانخفاض بعد ذلك خلال الدورة المناخية الثالثة (2011 - 2019) لتبلغ (5.6 كغم / م<sup>2</sup>).

3- الاتجاه العام لتركيز الكاربون الاسود (السخام): تظهر بيانات الجدول (10) والشكل (11) أن تركيز الكاربون الأسود إزدادت خلال مدة الدورة المناخية الثانية (2000 - 2010) لتبلغ (6.2 كغم / م<sup>2</sup>) عن ما كانت عليه خلال الدورة المناخية الأولى

جدول (10) معدلات تركيز الكاربون الأسود (كغم / م<sup>2</sup>) لمحطات الدراسة حسب الدورات المناخية للمدة (1989 - 2019)

المعدل	البصرة	الحي	بغداد	الرطبة	الموصل	الدوره الزمنية
5.5	5.9	6.3	5.3	4.1	5.7	الدوره المناخية الأولى من 1989 - 1999
6.2	6	6.2	6.2	5.4	7.1	الدوره المناخية الثانية 2000 - 2010
5.6	3.4	4.4	6.4	6	7.8	الدوره المناخية الثالثة 2011 - 2019

المصدر: الباحث بالاعتماد على جدول (6).

شكل (11) الاتجاه العام لترانزكربون الأسود (السخام) (كغم/م<sup>2</sup>) للمدة (1989 - 2019)

المصدر: الباحث بالاعتماد على جدول (10) .

ومن ملاحظة بيانات الاشعاع الشمسي في الجدول (11) والشكل (12) يتضح وجود تباينات مكانية في كميات الاشعاع الشمسي الكلي في العراق من محطة لآخر، وذلك نتيجة للظروف المحلية المختلفة لكل محطة، ولاحظ أن المعدل العام لكميات الاشعاع الشمسي في العراق في محطات منطقة الدراسة بلغ (570.3 ملي واط / سم<sup>2</sup>)، سجل أعلى معدل للاشعاع الشمسي الكلي في محطة الرطبة وبلغت كمية الاشعاع الشمسي التدريجي لزوايا سقوط الاشعاع الشمسي (680.7 ملي واط / سم<sup>2</sup>) ويعود السبب في ذلك الارتفاع التدريجي لزوايا سقوط الاشعاع الشمسي وزيادة ساعات السطوع الفعلية مع انخفاض نسب ملوثات الهواء إضافة إلى ذلك قلة عدد أيام الظواهر الغبارية مما يساهم في زيادة شدة الاشعاع الشمسي في هذه المحطة .

**رابعاً: الاشعاع الشمسي وتبينه السنوي والشهري والاتجاه العام في العراق:**  
 تعد كمية الاشعاع الشمسي واختلاف توزيعه المكاني المحرك الرئيس للمناخ والتغيرات المناخية، فإن أي زيادة أو نقصان في كمية الاشعاع الشمسي الواصل إلى سطح الأرض معناه زيادة زيادة أو نقصان في أهم العناصر المرتبطة به مثل (درجة الحرارة، الرطوبة النسبية، التبخر) (التميمي، 2017، ص 224)، وتشهد مناطق العراق تباين في كميات الأشعة الشمسية الواصلة إلى سطح الأرض من مكان لآخر، إذ تنخفض كميات الاشعاع الشمسي في المناطق الشمالية الشرقية من العراق شتاءً بسبب كثرة الغيوم، في حين تزداد في المناطق الجنوبية بسبب قلة الغيوم، فضلاً عن ذلك أن المناطق الجنوبية تكون أقرب إلى مدار السرطان (منطقة تعامد الشمس في صيف نصف الأرض الشمالي (الدزبي، 2013، ص 183).

جدول (11) المعدلات السنوية لكميات الاشعاع الشمسي الكلي  
 في محطات منطقة الدراسة (ملي واط / سم<sup>2</sup>) للمنطقة (1989-2019)

السنوات	الموصل	الرطبة	بغداد	الحي	البصرة	المعدل
1989	522.5	580.6	548.9	540.6	543.1	547.1
1990	522.2	560.8	542.6	544.1	568.4	547.6
1991	491.8	539.5	526.1	511.8	531.4	520.1
1992	475.3	527.9	482.5	512.4	529.6	505.5
1993	482.3	539.8	537.7	531.6	544.5	527.2
1994	488.1	544.9	538.8	537.7	545.8	531.1
1995	507.8	556.1	563.7	551.2	543.6	544.5
1996	496.7	597.9	544.9	582.9	560.7	556.6
1997	495	593.4	550.3	555.4	566.7	552.2
1998	506.9	498.5	554.7	557.2	574.4	538.3
1999	509.2	554.2	551.4	550.3	550.5	543.1
2000	497.4	558.7	529.1	528.2	532.2	529.1
2001	505.2	563.2	558.8	548.2	559.3	546.9
2002	501.3	571.4	576.7	487.8	579.5	543.3
2003	489.9	852.9	534.2	682.5	877.8	687.5
2004	545.1	852.4	526.8	610.9	619.9	631
2005	599.3	852.9	482	539.8	543.8	603.6
2006	496.9	852.9	425.2	616.9	525.4	583.5
2007	489.2	852.8	525.4	530.1	564.2	592.3
2008	493.6	851.6	502.9	514.5	518.3	576.2
2009	484.6	852.2	498.1	501.7	531	573.5
2010	507.1	852.7	519.2	515.9	565.7	592.1
2011	494.3	544.6	522.6	525.4	541.2	525.6
2012	484.4	548.9	513.6	522.8	522.6	518.5
2013	512.7	523.1	524.7	558.2	494.1	522.6
2014	403.6	624.2	523.5	529.1	523.3	520.7
2015	823.2	849.7	531.5	523.1	510.6	647.6
2016	822.3	849.7	535.9	533.3	547.2	657.7
2017	822.7	850.8	538.9	509.6	507.7	645.9
2018	827	849.9	520.6	407.7	460.3	613.1
2019	494.9	852.9	607.9	710.9	610.8	655.5
المعدل	541.7	680.7	530.3	544.3	554.6	570.3

المصدر: الباحث بالاعتماد على: 1- جمهورية العراق، وزارة النقل والمواصلات، الهيئة العامة للأنواء الجوية والرصد  
 والزلزال العراقي، قسم المناخ، بيانات غير منشورة . 2- برنامج Cropwat 8.0.

تسير انخفاض في كمية الاشعاع الشمسي الواصل الى سطح الارض وقلة ساعات السطوع الفعلية وزيادة عدد أيام الظواهر الغبارية التي بدورها تحجب الاشعاع سقوط الاشعاع الشمسي مع تزايد ملوثات الهواء التي

في حين سجل أقل معدل للاشعاع الشمسي الكلي في محطة بغداد وبلغت كمية الاشعاع ( 530.3 مللي واط / سم<sup>2</sup> ) وهذا التناقض يعود الى انخفاض زاوية سقوط الاشعاع الشمسي مع تزايد ملوثات الهواء التي

شكل (12) التباين المكاني للاشعاع الشمسي الكلي ( ملي واط / سم<sup>2</sup> ) في محطات منطقة الدراسة للفترة ( 1989-2019 )



المصدر: من عمل الباحث اعتماداً على جدول (11).

الاشعاع الشمسي ( 687.5 ملي واط / سم<sup>2</sup> ) ، في حين كان أدنى معدل في سنة ( 1992 ) اذ بلغت كمية الاشعاع ( 505.5 ملي واط / سم<sup>2</sup> ) .

وقد شهدت تسجيلات الاشعاع الشمسي تباين زماني بين سنة و أخرى ، فالرجوع الى الجدول السابق والشكل ( 13 ) ، إذ سجل أعلى معدل سنوي للاشعاع الشمسي الكلي في سنة ( 2003 ) و قد بلغت كمية

شكل ( 13 ) التباين السنوي للاشعاع الشمسي الكلي ( ملي واط / سم<sup>2</sup> ) في محطات منطقة الدراسة للفترة ( 1989-2019 )



المصدر: من عمل الباحث اعتماداً على جدول (11).

أدنى معدل بلغ (537.6 ملي واط/سم<sup>2</sup>)، يشهد بعد ذلك تزايد في كمية الاشعاع ليسجل أعلى معدل خلال الدورة المناخية الثالثة (2011-2019) ليبلغ (589.7 ملي واط/سم<sup>2</sup>)، إذ سجلت الدورة المناخية الأولى (1989-1999) الاتجاه العام للأشعاع الشمسي :

جدول (12) الاتجاه العام للأشعاع الشمسي (ملي واط / سم<sup>2</sup>)  
 في محطات منطقة الدراسة الدراسية حسب المدة الزمنية (1989-2019)

الدوره المناخية	الموصل	الرطبة	بغداد	الحي	البصرة	المعدل
الدوره المناخية الأولى من 1989 - 1999	499.8	554	540.1	543.2	550.8	537.6
الدوره المناخية الثانية من 2000 - 2010	510	774	516,2	552.4	583.4	587.2
الدوره المناخية الثالثة من 2011 - 2019	631.7	721.5	535.5	535.6	524.2	589.7

المصدر: من عمل الباحث بالاعتماد على بيانات جدول (11).

شكل (14)

الاتجاه العام للأشعاع الشمسي (ملي واط / سم<sup>2</sup>) في محطات منطقة الدراسة الدراسية حسب المدة الزمنية (1989-2019)



المصدر: من عمل الباحث اعتماداً على جدول (12).

في حين نجد أن أدنى معدلات الاشعاع الشمسي في محطات منطقة الدراسة كان في أشهر الشتاء وبالتالي في شهري (كانون الاول و كانون الثاني ) ويرجع السبب في ذلك الى كثرة مرور المنخفضات الجوية المطرة و دورها في تشكيل حالات التغيير مما يقلل من كمية الاشعة الشمسيه و إنخفاض سرعة الرياح و زيادة حالات الركود مما يساهم في زيادة تراكيز الملوثات في الجو مما يعيق وصول الاشعاع الشمسي الى سطح الارض فقد لوحظ أن معدل الاشعاع الشمسي الكلي المسجلة في هذين الشهرين بلغ ( 309.1 ، 331.9 ملي واط / سم<sup>2</sup> ) على التوالي .

يبين الجدول ( 13 ) والشكل ( 15 ) تباين المعدلات الشهريه لكمية الاشعاع الشمسي الكلي بين مناطق العراق و بالتحديد المحطات المدروسة ، إذ نلاحظ أن أعلى قيمة للأشعاع الشمسي الكلي سجلت خلال أشهر الصيف وبالتحديد في شهري (حزيران و تموز ) ، بسبب زيادة ساعات السطوع الشمسي وقلة مرور المنخفضات الجوية المطرة و هذا ما يقلل من تكوين الغيوم و إنخفاض نسب الملوثات في الجو نتيجة إزدياد حركة الرياح ، إذ سجلت محطات منطقة الدراسة معدلات اشعاع شمسي في هذين الشهرين ( 808.8 و 801 ملي واط / سم<sup>2</sup> ) على التوالي .

جدول ( 13 ) المعدلات الشهرية لكمية الاشعاع الشمسي الكلي ( ملي / سم<sup>2</sup> ) في محطات منطقة الدراسة للمدة ( 1989 - 2019 )

الاشهر	الموصل	الرطبة	بغداد	الحي	البصرة	المعدل العام
ايلول	621.9	747.3	598.8	613.4	630.7	642.4
١ ت	453.2	596.5	447.2	474.5	496.5	493.6
٢ ت	328.8	462.7	341.7	362.5	378.7	374.9
١ ك	253.6	383.9	282.9	302.9	322.3	309.1
٢ ك	273.1	417.2	304.3	324.3	340.6	331.9
شباط	368.1	519.1	395.8	414.3	430	425.5
اذار	490.6	655.3	493.3	514.6	530.4	536.8
نيسان	613.9	775.7	597.6	599.5	602.4	637.8
آيار	727.4	864.3	676.8	686.4	689	728.8
حزيران	823.5	942.9	762.1	750.9	761.9	808.3
تموز	806.3	933.7	747.9	764.5	752.5	801
اب	739.9	869.5	714.6	724.2	720.7	753.8
المعدل	541.7	680.7	530.3	544.3	554.6	570.3

المصدر: الباحث بالاعتماد على : 1- جمهورية العراق، وزارة النقل و المواصلات، الهيئة العامة للانواء الجوية و الرصد الزلزالي . العراقية، قسم المناخ، بيانات غير منشورة . 2- برنامج Cropwat 8.0

شكل ( 15 ) التباين الشهري لكمية الاشعاع الشمسي الكلي ( ملي واط / سم<sup>2</sup> ) في محطات منطقة الدراسة للمدة ( 1989 - 2019 )



المصدر : من عمل الباحث إعتماداً على جدول ( 13 ) .

درجة ونوع العلاقة بين متغيرين عشوائيين، وتتراوح قيمته بين ( -1 ) و ( +1 ) .<sup>(2)</sup>

ثانياً: معامل ارتباط بيرسون

**Pearson correlation coefficient:**

هو العلاقة بين ظاهرتين، ويمكن استخراجه عن طريق معادلة بيرسون الآتية<sup>(3)</sup> :

$$R = \frac{\sum y_i x_i - \frac{(\sum y_i)(\sum x_i)}{N}}{\sqrt{\sum x_i^2 - \frac{(\sum y_i)^2}{N}} \sqrt{\sum y_i^2 - \frac{(\sum x_i)^2}{N}}}$$

حيث أن :

$\sum x_i$  = مجموع قيم المتغير  $X$

$\sum y_i$  = مجموع قيم المتغير  $Y$

$N$  = عدد القيم

الحاسوب، ط 2، دار صفاء للنشر والتوزيع، عمان، الأردن، 2002 ، ص 433 .

(2) نادية هاشم النور وآخرون، التقدير الحصين لمعامل الارتباط، مجلة علوم المستنصرية، المجلد (12)، العدد (5)، 2010، ص 252 .

(3) سامي عزيز عباس العتيبي ومحمد يوسف حاجم الهيتي، منهج البحث العلمي والمفهوم والأساليب والتحليل والكتابة، مطبعة الأصدقاء، بغداد، 1102م، ص 371 .

التحليل الاحصائي لأثر ملوثات الهواء في تباين قيم الاشعاع الشمسي

يعالج هذا الجزء من الدراسة أيضاً موضوعاً موسعاً في غاية الأهمية هو الانتقال من التحليل النظري (المرئي) إلى الطرق الاحصائية، لأن التحليل النظري لا يقدم دليلاً قاطعاً للعلاقات المتداخلة بين المتغيرات للعناصر المناخية والظواهر الناتجة عنها ومنها الاشعاع الشمسي، ولا استخراج الارتباطات الكمية بين الاشعاع الشمسي مع الملوثات الجوية لتعزيز صحة النتائج، لأن العمليات الاحصائية تضفي صحة علمية على نتائج الدراسة وقد تم استخدام معامل بيرسون للارتباط.

**أولاً: الارتباط**

هو الوسيلة الإحصائية المستخدمة لقياس العلاقة بين المتغيرات، واختبارها إحصائياً لتحديد طبيعتها، فيما إذا كانت ذات دلالة إحصائية، أم أنها ناتجة عن عامل الصدفة<sup>(1)</sup>. ويعرف أيضاً بأنه مقياس احصائي يبين

(1) نعan شحادة، الأساليب الكمية في الجغرافية باستخدام

تساوي (1-) فتعني وجود علاقة عكسية سالبة تامة بين المتغيرين .

تنحصر قيم الارتباط بين (1+ ، -1+)، حيث إن قيمة معامل الارتباط (1+) تعني وجود علاقة موجبة طردية تامة بين المتغيرين، أما إذا كانت قيمة معامل الارتباط

جدول (14) درجات قوة معامل الارتباط

ارتباط سالب					ارتباط موجب				
قوي جدا	قوي	متوسط	ضعيف	ضيق جدا	ضيق جدا	ضعيف	متوسط	قوي	قوي جدا
0.9 -	0.7 -	0.5 -	0.3 -		0.3	0.5	0.7	0.9	
ارتباط تام سالب -1					ارتباط تام موجب +1				

المصدر: سامي عزيز عباس العتيبي ، اياد عاشور الطائي ، الاحصاء و النمذجة في الجغرافية ، مطبعة الامارة ، 2013 ، ص 187 .

(0,111) وكانت العلاقة عكسية ضعيفة غير معنوية، وهذا يدل على أنه كمية الكاريون الأسود (السخام) تكون قليلة عند زيادة كمية الإشعاع الشمسي مما تكون حالات الانخفاض في الإشعاع الشمسي قليلة، وسجلت أدنى معامل ارتباط بين الإشعاع الشمسي وأحادي أوكسيد الكربون (CO) نحو (0,252) وكانت العلاقة عكسية ضعيفة غير معنوية ، وهذا يؤكّد أيضاً أن كمية أحادي أوكسيد الكربون تكون قليلة عند زيادة كمية الإشعاع الشمسي مما يقلّل من حالات الانخفاض في كمية الإشعاع الشمسي الواصل إلى سطح الأرض .

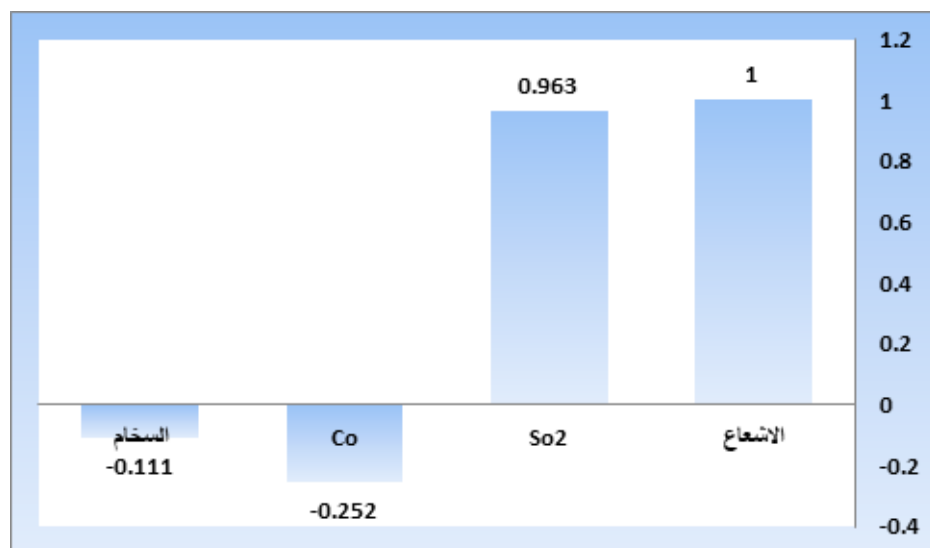
معامل ارتباط الإشعاع الشمسي مع ملوثات الهواء: تعكس نتائج الجدول (15) والشكل (16) الخاصة بمعامل الارتباط للإشعاع الشمسي مع الملوثات الجوية، فمن حيث علاقة الارتباط للإشعاع الشمسي مع الملوثات الجوية فقد لوحظ أن أعلى معامل ارتباط عند مستوى ثقة (95 %) كانت بين الإشعاع الشمسي وثاني أوكسيد الكبريت ( $SO_2$ ) نحو (0,963) وكانت العلاقة طردية قوية معنوية ، أي أنه كلما ارتفعت كمية الإشعاع الشمسي ازدادت قيمة ثاني أوكسيد الكبريت في الجو مما يسهم في خفض الإشعاع ، وسجل معامل الارتباط بين الإشعاع الشمسي والكاريون الأسود (السخام) نحو

جدول (15) قيم معامل ارتباط الإشعاع الشمسي مع الملوثات الجوية

R2	القيمة الحرجية عند 95 %	قيمة (t) الجدولية	T (test)	نوع العلاقة	R	العناصر
	غير معنوية	2.353	0	طردي تام	1	الإشعاع
0.93	معنوية	2.353	6.174	طردي قوي	0.963	SO2
0.064	غير معنوية	2.353	-0.26	عكسى خفيف	-0.252	CO
0.012	غير معنوية	2.353	-0.193	عكسى خفيف	-0.111	السخام

المصدر: نتائج التحليل الاحصائي (بيرسون) اعتماداً على بيانات الملوثات الهوائية و الإشعاع الشمسي ، جدول (3 ، 5 ، 7 ، 13) .

شكل ( 16 ) تباين قيم معامل ارتباط الاشعاع الشمسي مع ملوثات الهواء



المصدر : من عمل الباحث اعتماداً على جدول (15)

م<sup>2</sup> خلال الدورة المناخية الثانية (2000-2010)

و(8,7) كغم / م<sup>2</sup> خلال الدورة المناخية الثالثة (2019-2011).

3. أن تراكيز أحادي أوكسيد الكاربون في العراق سجلت معدلات متباعدة خلال ثلات دورات مناخية، إذ بلغت معدلاته (3,5) كغم / م<sup>2</sup> خلال الدورة المناخية الأولى (1989-1999) و(3,7) كغم / م<sup>2</sup> خلال الدورة المناخية الثانية (2000-2010) و(3,3) كغم / م<sup>2</sup> خلال الدورة المناخية الثالثة (2011-2019).

4. أن تراكيز الكاربون الأسود في العراق سجلت معدلات متباعدة خلال ثلات دورات مناخية، إذ بلغت معدلاته (5,5) كغم / م<sup>2</sup> خلال الدورة المناخية الأولى (1989-1999) و(6,2) كغم / م<sup>2</sup> خلال الدورة المناخية الثانية (2000-2010) و(5,6) كغم / م<sup>2</sup> خلال الدورة المناخية الثالثة (2011-2019).

### الاستنتاجات

توصل البحث إلى مجموعة من الاستنتاجات والتي يمكن إجمالها بالنقاط التالية:

1. سجلت ملوثات الهواء (ثاني أوكسيد الكبريت SO<sub>2</sub>، أحادي أوكسيد الكربون CO، الكاربون الأسود) معدلات متباعدة خلال المدة (1989-2019) يكون لها دور فعال في تشتت الاشعة الشمسية، إذ بلغ المعدل السنوي لتركيز ثاني أوكسيد الكبريت (7,8) ( كغم / م<sup>2</sup> )، أما تراكيز أحادي أوكسيد الكاربون فقد بلغ (3,6) ( كغم / م<sup>2</sup> )، فيما بلغ تراكيز الكاربون الأسود (السخام) نحو (5,8) ( كغم / م<sup>2</sup> ).

2. أن تراكيز ثاني أوكسيد الكبريت في العراق سجلت معدلات متباعدة خلال ثلات دورات مناخية، إذ بلغت معدلاته (6) كغم / م<sup>2</sup> ، خلال الدورة المناخية الأولى (1989-1999) و(8,8) كغم /

### المصادر

- (1) جمهورية العراق، وزارة النقل، الهيئة العامة للأنواء الجوية العراقية، اطلس مناخ العراق، سجلات غير منشورة، بغداد، 1990.
- (2) جمهورية العراق، وزارة النقل، الهيئة العامة للأنواء الجوية والرصد الزلزالي العراقي، أطلس مناخ العراق، الجزء الأول، 2012.
- (3) سالار علي خضر الدزيبي، مناخ العراق القديم والمعاصر، ط1، دار الشؤون الثقافية العامة، بغداد، العراق ، 2013 .
- (4) نهلة محمد جاسم التميمي، استخدام الاسلوب الأمثل لتقدير قيم الاشعاع الشمسي الكلي و التنبؤ به في العراق ، أطروحة دكتوراه (غير منشورة)، كلية التربية للبنات ، جامعة بغداد ، 2017.
- (5) شكري ابراهيم الحسن، التلوث البيئي في مدينة البصرة، اطروحة دكتوراه (غير منشورة)، كلية الاداب ، جامعة البصرة ، 2011 .
- (6) نعمان شحادة، الأساليب الكمية في الجغرافية باستخدام الحاسوب، ط2، دار صفاء للنشر والتوزيع ، عمان، الأردن، 2002 .
- (7) نادية هاشم النور وآخرون، التقدير الحصين لمعامل الارتباط، مجلة علوم المستنصرية، المجلد (21)، العدد (5)، 2010 .
- (8) كاظم عبد الوهاب الأسدی و شاکر عبد عاید، التباين المکانی والزمانی لترکیز الغازات الملوثة لهواء محافظة بابل، مجلة الباحث، جامعة کربلاء، المجلد 3، العدد 1 ، 2013 .
- (9) سعدون مشرف حسين الشعبي، التقويم المناخي لموقع المناطق الصناعية في مدينة الرمادي، رسالة ماجستير (غير منشورة)، كلية الاداب، جامعة

5. أن كمية الاشعاع الشمسي الكلي في العراق تشهد تباين سنوي من سنة لآخر، إذ سجل أعلى معدل سنوي للإشعاع الشمسي الكلي في سنة (2003) إذ بلغ (687.5 ملي واط/سم<sup>2</sup>)، فيما سجل أدنى معدل للإشعاع الشمسي الكلي في سنة (1992) إذ بلغ (505.5 ملي واط/سم<sup>2</sup>) .

6. توصلت الدراسة الى أن أقوى علاقة ارتباط للإشعاع الشمسي مع الملوثات الهوائية كان بين الإشعاع الشمسي و ثاني أوكسيد الكربون (502) إذ بلغ (0.963) وكانت العلاقة طردية قوية ، بينما سجل أدنى معامل ارتباط بين الإشعاع الشمسي و احادي اوکسید الكاربون (50) إذ بلغ (0.252) وكانت العلاقة عكسية ضعيفة .

### المقترحات

- 1 - العمل على الحد من انبعاثات ملوثات الغلاف الغازي التي تؤدي الى الاحتباس الحراري، لماله من تأثير في قيم الاشعاع الشمسي الواصل إلى سطح الأرض.
- 2 - محاولة الاستفادة من معلومات الأقمار الصناعية بالتنسيق مع بعض الدول المجاورة في تقدير كمية الملوثات الجوية لمساعدة الباحثين في الحصول على البيانات المناخية بصورة أدق.
- 3 - استخدام التخطيط العلمي عند انشاء أي صناعة وذلك بالأخذ بنظر الاعتبار الظروف المناخية السائدة والوضعية التضاريسية للمنطقة، وأبعاد المناطق الصناعية خارج حدود المدينة.
- 4 - تركيب أجهزة حديثة لقياس تراكيز الغازات الملوثة للهواء في مناطق مختلفة من العراق بما يتناسب مع طبيعة المنطقة (سكنية، صناعية، تجارية) لغرض معرفة حجم الملوثات الجوية ومدى تأثيرها.

2013 ، ص 187 .

(14) لماء محمد فائق مصطفى، دراسات عن الاشعاع الشمسي في مدينة الموصل، رسالة ماجستير (غير منشورة)، كلية التربية، جامعة الموصل، 2005.

(15) بيانات التلوث من القمر الصناعي تيرا (Teera) (16) Black Carbon ,Climate and clean air coalition <https://www.ccacoalition.org/en/slcp/black-carbon>

(17) Renee Cho , The damaging effects of black carbon , news from the Columbia Climate school , March 22 , 2016, <https://news.climate.columbia.edu>

(18) Meinrat O . Andreae , world survey of Climatology, 1995 <https://www.sciencedirect.com>

(19) The Eu Backgroundon black carbon, A map: <https://eua-bca.amap.no>.

الانبار، 2009.

(10) سامي عزيز عباس العتبى و محمد يوسف حاجم الهيتي، منهج البحث العلمي والمفهوم والاساليب والتحليل والكتابة، مطبعة الاصدقاء، بغداد، 2011 م.

(11) وفيق حسين الخشاب و مهدي محمد الصحاف ، الموارد الطبيعية ، دار الحرية ، بغداد، 1976 .

(\*) الغازات الساخنة تشمل بخار الماء، غاز أحادي وثاني أوكسيد الكربون، الميثان، الأوزن و غيرها سميت بالساخنة لقيامها بأمتصاص الاشعة تحت الحمراء التي تقوم الارض بأشعاعها أو عكسها مما يقلل من كمية الطاقة الحرارية المفقودة من الارض وبالتالي زيادة درجة حرارة الغلاف الجوي والارض بشكل عام .

- تم قياس تركيز غاز ثاني أوكسيد الكبريت (SO<sub>2</sub>) بوحدة الـ (كغم/م<sup>2</sup>) وتسمى أيضاً بوحدة (نيوتن/م<sup>2</sup>) وتعد من وحدات القياس النظام الدولي المترى ويقصد بها حساب الكتلة على وحدة المساحة .

- تم قياس تركيز غاز أحادي أوكسيد الكاربون (CO) بوحدة الـ (كغم/ م<sup>2</sup>/ث) وتسمى أيضاً بوحدة (نيوتن/ م<sup>2</sup>/ث) وتعد من وحدات القياس في النظام الدولي المترى ويقصد بها حساب الكتلة على وحدة المساحة .

(12) سحر قدوري وعواطف رديف، تلوث الهواء بغاز أحادي أوكسيد الكربون (CO)، الابعاد والمخاطر (محطي الاندلس والوزيرية دراسة حالة)، مجلة المستنصرية للدراسات العربية والدولية ، الجامعة المستنصرية ، العدد 46 ، 2014 .

(13) سامي عزيز عباس العتبى، ایاد عاشور الطائى، الاحصاء و النمذجة في الجغرافية، مطبعة الامارة،

